

文章编号:1671-6833(2017)04-0023-06

锆氧化物/石墨烯的制备及其对 PO_4^{3-} 的吸附性能

史春燕¹, 范冰冰¹, 李娅娅¹, 胡永宝¹, 张锐^{1,2}

(1. 郑州大学材料科学与工程学院,河南郑州450001; 2. 郑州航空工业管理学院 河南省航空材料与应用技术重点实验室,河南郑州450015)

摘要:采用改进的Hummers法制备氧化石墨烯,采用超声-搅拌-共沉淀法制备出氢氧化锆/石墨烯($\text{Zr}(\text{OH})_4/\text{rGO}$)复合材料,并利用氢氧化锆/石墨烯前驱体采用水热法制备氧化锆/石墨烯(ZrO_2/rGO)复合材料。通过 $\text{Zr}(\text{OH})_4/\text{rGO}$ 、 ZrO_2/rGO 对磷酸根的吸附性能研究表明:两种吸附剂材料对 PO_4^{3-} 的吸附容量均随着pH值的升高而降低,吸附容量均随 PO_4^{3-} 浓度与溶液温度升高而升高。当pH值为2时, $\text{Zr}(\text{OH})_4/\text{rGO}$ 、 ZrO_2/rGO 对 PO_4^{3-} 最大吸附容量分别为81.84 mg/g、63.58 mg/g。 $\text{Zr}(\text{OH})_4/\text{rGO}$ 与 ZrO_2/rGO 样品对 PO_4^{3-} 吸附过程均符合准二级动力学方程,等温吸附过程均满足Langmuir吸附等温方程。 $\text{Zr}(\text{OH})_4/\text{rGO}$ 的再利用吸附 PO_4^{3-} 容量有所下降,而 ZrO_2/rGO 再生后吸附 PO_4^{3-} 容量与初次吸附性能相当。

关键词:石墨烯;氢氧化锆;氧化锆;吸附; PO_4^{3-}

中图分类号: TB34; X52

文献标志码: A doi:10.13705/j.issn.1671-6833.2017.01.009

0 引言

近年来,大量含磷的城市生活污水和工业废水排入到环境中,导致水体富营养化^[1-2]。目前,水体除磷的方法主要分为生物法、化学沉淀法、膜分离法、吸附法^[3-7]。因吸附法具有效率高、操作简便、能再生和可回收磷资源等优点,受到了广泛关注。

石墨烯负载锆氧化物不仅保持其大的比表面积,且有效防止锆氧化物纳米颗粒团聚,成为目前吸附材料研究的热点。庞欢等^[8]在水热200℃反应24 h制备梭状氧化锆/石墨烯复合材料。Teymourian等^[9]180℃水热反应12 h制备得到石墨烯/氧化锆复合材料;王家宏等^[10]在50~100℃下回流搅拌24~72 h,获得氧化锆改性石墨烯;许昭怡等^[11]在惰性气氛保护下制备氧化锆/氧化石墨吸附剂, PO_4^{3-} 的最佳吸附量为20.5 mg/g。但在上述研究中,存在溶剂有毒、制备时间较长、吸附容量相对较低等缺点。

为解决上述问题,笔者采用改进的Hummers方法制备氧化石墨烯,采用NaOH溶液作为氢氧

化锆的沉淀剂,制备出前驱物氢氧化锆/石墨烯($\text{Zr}(\text{OH})_4/\text{rGO}$),并以上述反应物为前驱体,采用水热法制备出氧化锆/石墨烯复合材料(ZrO_2/rGO),并研究了 $\text{Zr}(\text{OH})_4/\text{rGO}$ 与 ZrO_2/rGO 对 PO_4^{3-} 的吸附性能。

1 试验方案

1.1 样品制备

采用改进的Hummers法制备氧化石墨^[12],称取3.22 g氯化锆(天津市光复精细化工研究所)与0.82 g氧化石墨溶于200 mL水中,超声混合30 min,在超声-搅拌下逐滴滴加1 mol/L的NaOH溶液,直至pH值为10,离心水洗至中性,真空冷冻干燥后得到氢氧化锆/石墨烯复合材料。

取上述氢氧化锆/石墨烯为前驱体溶液60 mL置入反应釜,加热至200℃保温30 min,随炉冷却,离心水洗至中性,经真空冷冻干燥,可获得氧化锆/石墨烯复合材料。

1.2 样品表征与性能检测

物相分析采用XD-3型X射线衍射仪,以K α

收稿日期:2016-11-20;修订日期:2016-12-01

基金项目:国家自然科学基金青年基金资助项目(51602287)

通信作者:范冰冰(1982—),女,河南淮阳人,郑州大学副教授,博士,主要从事石墨烯基复合材料和功能陶瓷材料的研究,E-mail:fanbingbing@zzu.edu.cn.

铜($\lambda = 0.154\text{06 nm}$)为X射线源,测试电压为36 kV,电流为20 mA。SEM形貌分析采用JSM-7001F型扫描电镜(日本电子株式会社)观察获得。在 $400 \sim 4000\text{ cm}^{-1}$ 的扫描范围内,用TEN-SOR27型傅立叶变换红外光谱仪(德国Bruker公司)测量并获得材料所含官能团。用T6 New Century型紫外可见分光光度计(北京普析通用仪器)对样品进行 PO_4^{3-} 吸附性能测试。

1.3 吸附实验

PO_4^{3-} 含量采用钼锑抗分光光度法检测(A)^[13]。分别将0.05 g $\text{Zr(OH)}_4/\text{rGO}$ 、 ZrO_2/rGO 加入到50 ml的25、50、100、200、400 mg/L的 PO_4^{3-} 溶液中,在预定温度下磁力搅拌吸附一段时间后,取上清液按照标准液检测方式进行检测。根据测量出的吸光度以及绘制的标准曲线计算出浓度。根据下式分别计算复合粉体对 PO_4^{3-} 吸附量 q (mg/g)。

$$q = \frac{(c_o - c_e)v}{w}, \quad (1)$$

式中: v 为水溶液的体积,L; w 为吸附剂的投加量,g; c_o 为初始溶液中 PO_4^{3-} 离子浓度,mg/L; c_e 为经吸附后上清液中 PO_4^{3-} 离子浓度,mg/L。

2 结果与讨论

2.1 XRD分析

图1是GO、 $\text{Zr(OH)}_4/\text{rGO}$ 与 ZrO_2/rGO 的XRD图谱。从图1中可以看出,氧化石墨在 $2\theta = 11^\circ$ 处有明显(001)晶面的衍射峰^[8]。当采用 Zr(OH)_4 与 ZrO_2 进行负载后,氧化石墨的衍射峰消失, $\text{Zr(OH)}_4/\text{rGO}$ 的衍射图谱中,衍射峰均为馒头峰,可能是由于 Zr(OH)_4 样品为无定型纳米结构,由于氢氧化钠中 OH^- 与氧化石墨烯的含氧官能团的作用^[14],导致氧化石墨烯被部分还原,形成了还原氧化石墨烯。在 ZrO_2/rGO 样品中,出现明显氧化锆结晶衍射峰。

2.2 SEM分析

图2为 $\text{Zr(OH)}_4/\text{rGO}$ 与 ZrO_2/rGO 的SEM图。从图2中可以看出,石墨烯表面负载一层细小且形状不规则颗粒,颗粒尺寸约为10 nm,未发现明显的颗粒团聚现象,如图2(a)所示。同时BET测试样品的表面积为 $198.63\text{ m}^2/\text{g}$,表明采用石墨烯作为基底,负载氢氧化锆可以有效阻止氢氧化锆颗粒之间的团聚,获得较大比表面积的复合材料。 $\text{Zr(OH)}_4/\text{rGO}$ 前驱体经过水热反应后,获得结晶态氧化锆负载于石墨烯表面,部分颗粒出现长大现象,颗粒平均尺寸约为23 nm,如图2(b)所示。

所示,样品比表面积下降为 $160.55\text{ m}^2/\text{g}$ 。

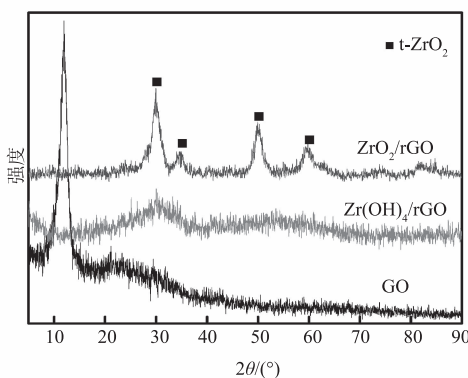


图1 GO、 $\text{Zr(OH)}_4/\text{rGO}$ 与 ZrO_2/rGO 的XRD图谱
Fig. 1 XRD patterns of GO, $\text{Zr(OH)}_4/\text{rGO}$ and ZrO_2/rGO

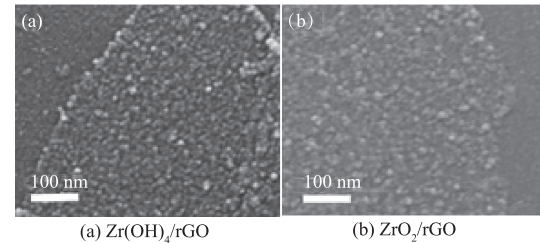


图2 样品SEM图
Fig. 2 SEM images of sample

2.3 FT-IR分析

图3是GO、 $\text{Zr(OH)}_4/\text{rGO}$ 与 ZrO_2/rGO 的FT-IR图谱,GO样品中出现较强的 sp^3 (1629 cm^{-1})杂化碳骨架环的振动与OH弯曲振动重叠峰^[15-16],同时存在—OH(1400 cm^{-1} 、 1079 cm^{-1})及C—O—C(1228 cm^{-1})振动吸收峰, 1400 cm^{-1} 为结构中羟基的O—H弯曲振动峰, 1725 cm^{-1} 处羧基或羧基的C=O伸缩振动峰^[17]; 2922 cm^{-1} 及 2853 cm^{-1} 处为 sp^2 碳上的C—H吸收峰。而 $\text{Zr(OH)}_4/\text{rGO}$ 样品 1725 cm^{-1} 处羧基或羧基的C=O消失,表明 OH^- 部分还原了GO上面的羧基和羧基,与XRD研究结果一致; 1624 cm^{-1} 处衍射峰为 sp^3 杂化碳骨架环的振动峰与氢氧化锆表面的羟基重叠峰,相对GO样品的 1629 cm^{-1} 处 sp^3 杂化碳骨架环的振动峰与石墨烯表面羟基重叠峰存在一定的偏移。而 1338 cm^{-1} 、 1049 cm^{-1} 处吸收峰相对 1380 cm^{-1} 、 1079 cm^{-1} 的羟基吸收峰发生了明显偏移,这是由于含有羟基的氢氧化锆负载于石墨烯表面引起的。 $\text{Zr(OH)}_4/\text{rGO}$ 样品在 517 cm^{-1} 附近出现Zr—O键特征吸收峰,相对于 473 cm^{-1} 处^[16]纯氢氧化锆的Zr—O特征峰有所偏移,可能是氢氧化锆与石墨烯表面上

的官能团相互作用导致。 ZrO_2/rGO 样品各位置的吸收峰相对 $\text{Zr(OH)}_4/\text{rGO}$ 同样发生偏移,1 000~1 167 cm^{-1} 的宽峰应为羟基与 $\text{Zr}=\text{O}$ 的重叠峰^[18],591 cm^{-1} 、502 cm^{-1} 处出现两个明显吸收峰,为 $\text{Zr}-\text{O}$ 键吸收峰,氧化锆的结晶导致 $\text{Zr}-\text{O}$ 发生偏移。

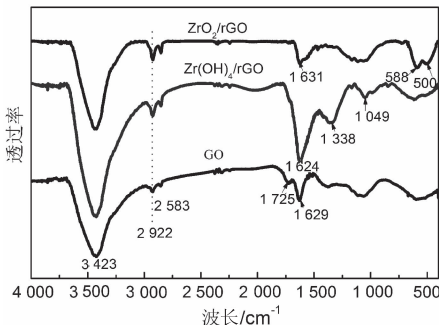


图3 GO, $\text{Zr}(\text{OH})_4/\text{rGO}$ 与 ZrO_2/rGO 的FT-IR图谱

Fig. 3 FT-IR spectra of GO, $\text{Zr}(\text{OH})_4/\text{rGO}$ and ZrO_2/rGO

2.4 吸附性能研究

2.4.1 pH值对吸附作用的影响

图4是溶液pH值对材料吸附 PO_4^{3-} 容量的影响。从图中可以看出, $\text{Zr}(\text{OH})_4/\text{rGO}$ 、 ZrO_2/rGO 两种吸附剂对磷酸根的吸附容量均随着溶液pH值的升高而降低。 $\text{Zr}(\text{OH})_4/\text{rGO}$ 的吸附性能随着pH值增加而降低较快。随着pH值减小,当 H^+ 过多时,氢氧化锆会被酸解^[19]。因此, $\text{Zr}(\text{OH})_4/\text{rGO}$ 样品应避免在较低pH值下进行吸附操作^[20]。当pH=2时, $\text{Zr}(\text{OH})_4/\text{rGO}$ 、 ZrO_2/rGO 对 PO_4^{3-} 的最大吸附容量分别可达81.84、63.58 mg/g,较目前文献报道^[11]的20.5 mg/g高出3~4倍;是活性炭负载氧化锆吸附磷容量7.8 mg/g的约10倍^[21],这可能是由于样品较大的比表面积提高了其吸附容量。

2.4.2 PO_4^{3-} 溶液初始浓度对吸附作用的影响和吸附等温线

$\text{Zr}(\text{OH})_4/\text{rGO}$ 、 ZrO_2/rGO 对 PO_4^{3-} 的吸附容量均随磷酸根溶液浓度的增加而增加。 $\text{Zr}(\text{OH})_4/\text{rGO}$ 吸附剂的吸附容量随 PO_4^{3-} 初始浓度的增加而近似线性的增长,而 ZrO_2/rGO 吸附剂的吸附容量增加速率随着 PO_4^{3-} 初始浓度的增加逐渐变小,到最后吸附容量会保持平衡,如图5所示,这是由材料本身特性所决定的。

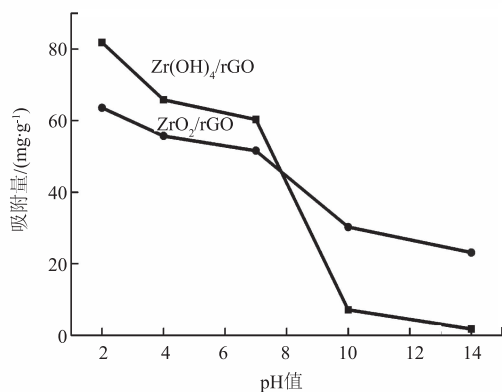


图4 溶液pH值对材料吸附 PO_4^{3-} 容量的影响

Fig. 4 Effect of pH on adsorption capacity of the material PO_4^{3-}

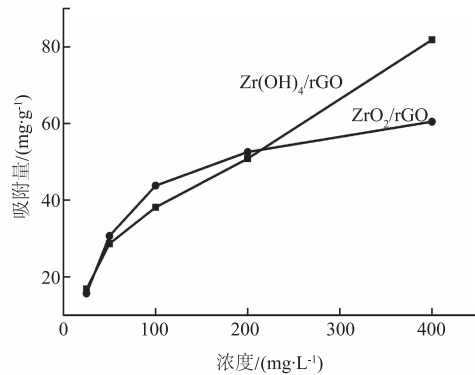


图5 PO_4^{3-} 溶液浓度对材料吸附容量的影响

Fig. 5 Effect of PO_4^{3-} concentration on the adsorption capacity of samples

2.4.3 PO_4^{3-} 溶液温度对吸附性能的影响

从图6可以看出, $\text{Zr}(\text{OH})_4/\text{rGO}$ 、 ZrO_2/rGO 吸附 PO_4^{3-} 的饱和吸附容量均随温度的升高而有所上升,在0 °C升至30 °C过程中,吸附容量增加较多,在30 °C升温至80 °C过程中,吸附容量增加较少。这表明该吸附材料不仅可以用于室温条件下的溶液处理,同时可以用于处理温度较高的含磷废水。

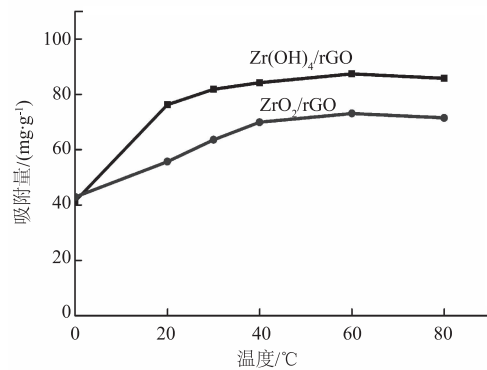


图6 温度对材料吸附 PO_4^{3-} 容量的影响

Fig. 6 Effect of temperature on the adsorption capacity of PO_4^{3-}

在30℃条件下进行等温吸附反应,两种吸附剂的数据分别拟合Freundlich和Langmuir等温式^[22],得到的结果如图7、8及表1所示。将数据点用Freundlich等温吸附曲线进行线性拟合,所得R²分别为0.880(图7(a))与0.890(图8(a)),n值分别为2.613与2.563,n值均大于1,说明两种吸附剂材料对磷酸根离子均属于易于吸附材料^[20]。将数据点用Langmuir方程进行拟合,得到线性相关系数R²分别为0.980(图7(b))与0.998(图8(b)),这说明数据点与拟合曲线符合度较高,Zr(OH)₄/rGO、ZrO₂/rGO吸附剂等温吸附过程均满足Langmuir吸附等温方程。

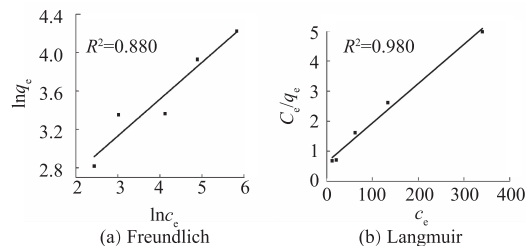


图7 Zr(OH)₄/rGO 对 PO₄³⁻ 吸附等温方程拟合
Fig.7 Adsorption isotherm equation fitting lines of Zr(OH)₄/rGO

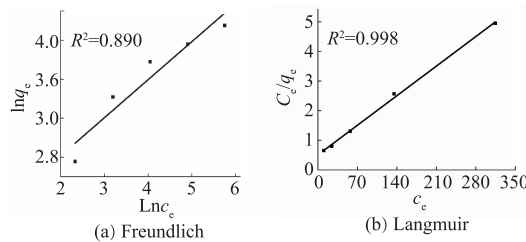


图8 ZrO₂/rGO 对 PO₄³⁻ 吸附等温方程拟合
Fig.8 Adsorption isotherm equation fitting lines of ZrO₂/rGO

2.4.4 时间对吸附效果的影响

图9是锆氧化物/石墨烯对磷酸根离子的吸附动力学曲线。从图中可以看出,在吸附初期,ZrO₂/rGO样品吸附量在30 min内已达到吸附平衡,而Zr(OH)₄/rGO样品吸附量在120 min时才达到吸附平衡,且吸附平衡后,随着时间延长,吸附容量不再发生变化。

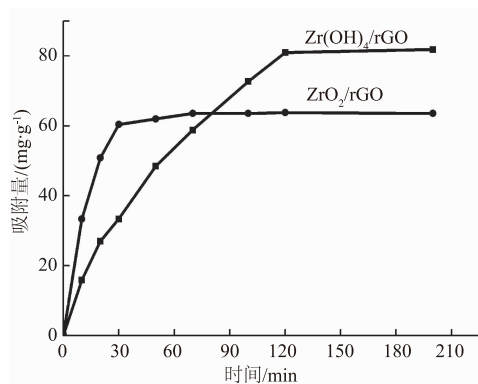
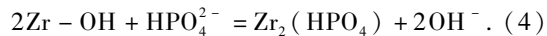
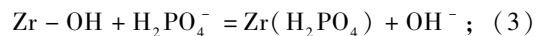


图9 Zr(OH)₄/rGO、ZrO₂/rGO 对 PO₄³⁻ 的吸附量随时间的变化

Fig.9 Adsorption quantity of Zr(OH)₄/rGO and ZrO₂/rGO at different time

结合其吸附动力学方程发现:Zr(OH)₄/rGO 对 PO₄³⁻ 吸附在60 min 内符合伪一级动力学方程。如图10(a)所示,随着吸附时间的延长,拟合直线与实验数据点的偏离越来越大,拟合直线与实验数据的线性相关系数R²为0.784,说明准一级动力学无法对整个吸附过程进行描述。使用准二级动力学方程对实验数据进行线性拟合,结果如图10(b)所示,拟合所得直线与数据点的偏离较小,计算所得线性相关系数R²为0.978,线性相关系数较高,说明Zr(OH)₄/rGO 对磷酸根吸附符合准二级动力学模型。

然而,ZrO₂/rGO 对磷酸根吸附全部过程更符合准二级动力学方程,如图11所示。其吸附机理包含了外部液膜扩散传质、吸附反应及粒内扩散等吸附的全部过程^[20]。由于氧化锆与氢氧化锆均为两性氧化物,表面含有的羟基决定了吸附过程中的反应活性,当pH值为3~9时,磷酸盐在溶液中主要以H₂PO₄⁻与HPO₄²⁻存在,两种吸附剂吸附去除磷酸盐机理相同,均为离子交换机制,吸附剂表面发生如下反应^[23]:



溶液pH值低于等电点时,ZrO₂ 表面的羟基被质子化,变成带正电荷,带负电荷的磷酸根在静电引力作用下吸附到ZrO₂/rGO 表面,其反应方程

表1 Zr(OH)₄/rGO、ZrO₂/rGO 对 PO₄³⁻ 吸附的等温吸附模型参数

Tab.1 Adsorption isotherm model parameters of Zr(OH)₄/rGO and ZrO₂/rGO samples

样品名称	Freundlich等温吸附方程拟合参数				Langmuir等温吸附方程拟合参数			
	拟合方程	K _F	n	R ²	拟合方程	K _L	q _m	R ²
Zr(OH) ₄ /rGO	Y=0.382 7X+1.984	10	7.273	0.880	Y=0.010X+0.630	0.015	8 100.000	0.980
ZrO ₂ /rGO	Y=0.390 1X+2.035	59	7.657	0.890	Y=0.014X+0.511	0.027	9 70.126	0.998

如下:

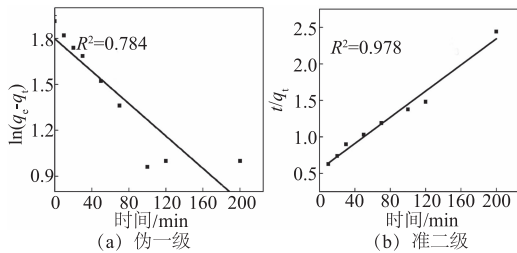
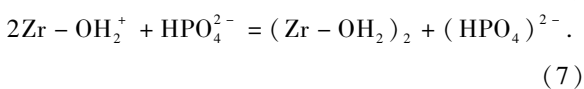
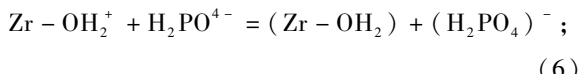
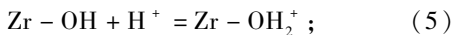


图 10 $\text{Zr}(\text{OH})_4/\text{rGO}$ 对 PO_4^{3-} 吸附动力学拟合
Fig. 10 Adsorption kinetics fitting of $\text{Zr}(\text{OH})_4/\text{rGO}$

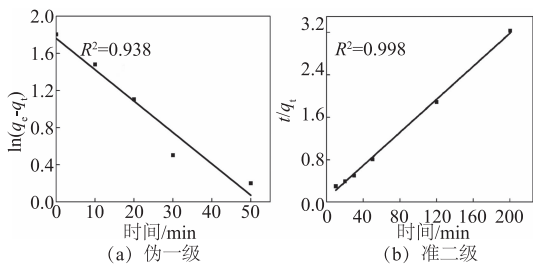


图 11 ZrO_2/rGO 对 PO_4^{3-} 吸附动力学拟合
Fig. 11 Adsorption kinetics fitting of ZrO_2/rGO

2.4.5 锆氧化物/石墨烯对 PO_4^{3-} 吸附再利用性能研究

图 12 为 50 次再生后,样品吸附 PO_4^{3-} 容量随时间变化图。从图 12 中可以看出, ZrO_2/rGO 样品脱附后再吸附磷酸根容量略有上升,从第一次吸附饱和容量的 63.58 mg/g 上升到 75.86 mg/g 。原因可能是使用氢氧化钠再生后,少量 OH^- 残留在样品表面,致使再利用时吸附容量有所升高。而 $\text{Zr}(\text{OH})_4/\text{rGO}$ 样品再生后吸附容量从 81.84 mg/g 降至 68.96 mg/g ,可能是 pH 值为 2 时,使 $\text{Zr}(\text{OH})_4/\text{rGO}$ 上面的氢氧化锆有了一定的流失,造成再利用吸附容量下降^[20]。

3 结论

采用超声-搅拌-共沉淀法制备得到氢氧化锆/石墨烯($\text{Zr}(\text{OH})_4/\text{rGO}$)复合材料,并以氢氧化锆/石墨烯为前驱体,在 200°C , 30 min 水热条件下,制备得到氧化锆/石墨烯(ZrO_2/rGO)复合材料。当 pH 值为 2 时, $\text{Zr}(\text{OH})_4/\text{rGO}$ 、 ZrO_2/rGO 的最大吸附容量分别为 81.84 、 63.58 mg/g 。等温吸附过程均满足 Langmuir 吸附等温方程, $\text{Zr}(\text{OH})_4/\text{rGO}$

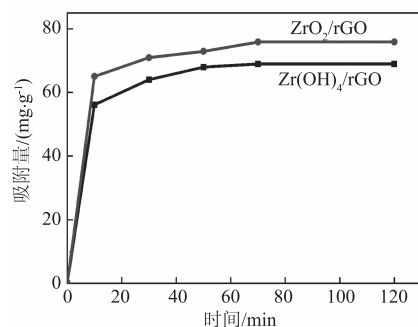


图 12 再利用吸附 PO_4^{3-} 吸附容量随时间的变化
Fig. 12 PO_4^{3-} adsorption capacity of reusing $\text{Zr}(\text{OH})_4/\text{rGO}$ and ZrO_2/rGO at different time

rGO 与 ZrO_2/rGO 样品对 PO_4^{3-} 吸附过程均符合准二级动力学方程。 pH 值为 2 时的吸附条件使 $\text{Zr}(\text{OH})_4/\text{rGO}$ 上面的氢氧化锆有了一定的流失,造成再利用吸附容量从 81.84 mg/g 降至 68.96 mg/g ,而 ZrO_2/rGO 复合材料,由于少量 OH^- 残留在样品表面,导致再生后吸附 PO_4^{3-} 容量从第一次吸附饱和容量的 63.58 mg/g 上升到 75.86 mg/g 。

参考文献:

- [1] 付春平, 钟成华, 邓春光. 水体富营养化成因分析 [J]. 重庆建筑大学学报, 2005, 27(1): 128–131.
- [2] 周启星, 俞洁, 陈剑. 某城市湖泊中磷的循环特征及富营养化发生潜势 [J]. 环境科学学报, 2004, 25(5): 138–142.
- [3] 唐朝春, 刘名, 陈惠民, 等. 吸附除磷技术的研究进展 [J]. 水处理技术, 2014, 40(9): 1–7.
- [4] 吕亚云. 污水化学除磷处理技术 [J]. 河南化工, 2010, 27(4): 45.
- [5] 王荣斌, 李军, 张宁, 等. 污水生物除磷技术研究进展 [J]. 环境工程, 2007, 25(1): 84–86.
- [6] 胡远来. 利用阴离子交换膜去除水中磷的试验研究 [D]. 湖南:湖南大学土木工程学院, 2011.
- [7] 满文苍. 载氧化锆生物复合材料的制备及对磷酸盐吸附性能的研究 [D]. 秦皇岛:燕山大学环境与化学工程学院, 2014.
- [8] 庞欢. 功能性微纳米材料的控制合成及其性能研究 [D]. 南京:南京大学化学化工学院, 2011.
- [9] TEYMOURIAN H, SALIMIA, FIROOZI S, et al. One-pot hydrothermal synthesis of zirconium dioxide nanoparticles decorated reduced graphene oxide composite as high performance electrochemical sensing and biosensing platform [J]. Electrochimica Acta, 2014, 143:196–206.
- [10] 王家宏, 陈浩. 氧化锆改性石墨烯及去除水中氟离子的方法:CN103861559. A[P]. 2014–06–18.

- [11] 许昭怡,宗恩敏,郑寿荣.一种氧化锆改性的氧化石墨吸附去除水体中磷酸盐的方法:CN102910700. A [P]. 2013-02-06.
- [12] FAN B B, GUO H H, ZHANG R, et al. Structural evolution during the oxidation process of graphite [J]. Chinese physics letters, 2014, 31:078102-1.
- [13] 国家环境保护委员总局,水和废水检测分析方法委员会. 水和废水检测分析方法[M]. 4 版. 北京:中国环境科学出版社, 2002.
- [14] 范冰冰, 郭焕焕, 李稳, 等. 石墨烯/银纳米复合材料的制备及其影响因素研究[J]. 物理学报, 2013, 62(14): 148101.
- [15] 郭焕焕. 银/石墨烯纳米复合材料的制备及其对 MCF-7 细胞毒性探索[D]. 郑州: 郑州大学材料科学与工程学院, 2013.
- [16] 李保庆, 袁文辉, 李莉. 热剥离法制备石墨烯纳米片对 Pb^{2+} 和 Cd^{2+} 的吸附 [J]. 物理化学学报, 2016, 32(4): 997-1004.
- [17] 黄桥, 孙红娟, 杨勇辉. 氧化石墨的谱学表征及分析[J]. 无机化学学报, 2011, 27(9): 1721-1726.
- [18] GUO G Y, CHEN Y L. Spectroscopic and X-ray diffractive analyses of zirconium hydroxides precipitated at low pH values [J]. Materials chemistry and physics, 2004, 39(12): 4039-4043.
- [19] BALCI S. Nature of ammonium ion adsorption by sepiolite: analysis of equilibrium data with several isotherms [J]. Water research, 2004, 38(5): 1129-1138.
- [20] 孟凡忠. 氢氧化锆/聚砜复合材料制备及对卤水中 SO_4^{2-} 吸附性能研究[D]. 天津: 天津大学化工学院, 2012.
- [21] 朱格仙, 张建, 王蓓. 活性炭负载氧化锆制备除磷吸附剂的最佳条件研究[J]. 中国给水排水, 2008, 24(3): 79-81.
- [22] 刘景亮, 宗恩敏, 陈欢. 氧化锆-活性炭纤维复合材料的制备及其对 F- 吸附性能[J]. 无机化学学报, 2015, 31(6): 1105-1111.
- [23] LIU H L, SUN X F, YIN C J, et al. Removal of phosphate by mesoporous ZrO_2 [J]. Journal of hazardous materials, 2008, 151(2/3): 616-622.

Preparation of Zirconium Oxide / Graphene Composites and the Adsorption Properties for PO_4^{3-}

SHI Chunyan¹, FAN Bingbing¹, LI Yaya¹, HU Yongbao¹, ZHANG Rui^{1,2}

(1. School of Materials Science and Engineering, Zhengzhou University, Zhengzhou 450001, China; 2. ZhengZhou Institute of Aeronautical Industry Management, Zhengzhou 450015, China)

Abstract: In this work, graphene oxide (GO) was prepared by an improved Hummers method. Zirconia/graphene composites (ZrO_2/rGO) were rapidly synthesized by hydrothermal method with $Zr(OH)_4/rGO$ as precursor prepared by ultrasound-stirred-coprecipitation. The adsorption capacity of $Zr(OH)_4/rGO$ and ZrO_2/rGO composites decreased with the increase of pH value and increased with the increase of phosphate concentration and the solution temperature. The maximum adsorption capacities of $Zr(OH)_4/rGO$ and ZrO_2/rGO composites were 81.84 mg/g and 63.58 mg/g respectively at pH 2.0. The adsorption kinetics of these two adsorbents accorded with the pseudo-second-order model and isothermal adsorption complied with the Langmuir isotherm equation. The results of its recycling properties showed the adsorption capacity decreased for the $Zr(OH)_4/rGO$ samples, while ZrO_2/rGO samples were almost the same as the initial adsorption performance.

Key words: graphene; zirconium hydroxide; zirconia; adsorption; PO_4^{3-}